

به کارگیری ریز شبکه های به هم پیوسته برای افزایش تداوم برق رسانی شبکه های توزیع در شرایط اضطراری

* رضا حق مرام*

استادیار دانشگاه جامع امام حسین (ع)

(دریافت: ۹۴/۱۲/۱۹، پذیرش: ۹۵/۰۵/۱۴)

چکیده

در کنار مزایای مختلف ریز شبکه ها، عدم امکان تولید مداوم نوان در حالت جزیره ای امنیت برق رسانی بارهای حساس شبکه توزیع را در شرایط اضطراری تهدید می کند. راه کاری که در این مقاله برای تأمین پدافند غیر عامل شبکه های توزیع نسل آینده در شرایط اضطراری ارائه شده است، ایجاد شبکه توزیع حاصل از اتصال چند ریز شبکه است تا در شرایطی که تأمین نوان از شبکه سراسری میسر نیست ریز شبکه ها از ظرفیت توان هم دیگر بهره مند شوند. یک مبدل DC-DC دو طرفه مازولار برای اتصال ریز شبکه DC به شبکه توزیع DC پیشنهاد شده است که امکان انتقال دو طرفه توان را فراهم می آورد. اصول عملکرد مبدل از طریق پیاده سازی نمونه آزمایشگاهی و راهبردی مدیریت توان پیشنهادی برای ریز شبکه متصل به شبکه توزیع با استفاده از نرم افزار PSCAD/EMTDC بررسی شده است. نتایج حاصل از بررسی ها نشان می دهد با اتصال ریز شبکه ها به هم دیگر امنیت تأمین نوان الکتریکی بارهای ریز شبکه در شرایط اضطراری که همراه با حالت جزیره ای ریز شبکه هاست افزایش می یابد.

کلیدواژه ها: ریز شبکه DC، ریز شبکه های به هم پیوسته، مبدل DC-DC مازولار، راهبرد مدیریت توان

Application of Interconnected Microgrids to Increase the Continuation of Electrification in Distribution Networks under Emergencies Situations

R. Haghmaram*

Imam Hossein University

(Received: 10/03/2016; Accepted: 04/08/2016)

Abstract

Beside various advantages of microgrids, impossibility of continuous power generation in islanding mode threatens the security of electrification of sensitive loads under emergencies. This paper proposes a construction for distribution networks which is formed using microgrids connection in which the microgrids use each other power capacity when the power transfer from the utility grid is not possible. This solution can provide passive defense of next generation of distribution networks in emergency conditions. A modular bidirectional DC-DC converter for connection of a DC microgrid to a DC distribution network is proposed which provides the bidirectional power transfer. Operation principle of the proposed converter is verified using experimental measurement, and proposed power management strategy for microgrid connection to the distribution network is investigated using PSCAD/EMTDC software. Analysis results show that interconnection of microgrids increases the security of electric power for microgrid loads under emergencies, which is frequently along with microgrids islanding mode.

Keywords: DC Microgrid, Interconnected Microgrids, Modular DC-DC Converter, Power Management Strategy.

۱. مقدمه

متقابل ریزشبکه های متصل به هم دیگر نظیر تغییرات ولتاژ و حتی ناپایداری ولتاژ رفع گردد. یکی از اهداف مهم در به کارگیری ریزشبکه های متصل به هم تأمین توان بارهای حساس ریزشبکه های مختلف در شرایط جزیره ای ریز شبکه ها است. بنابراین لازم است بر حسب ضرورت و اولویت بارهای ریزشبکه تقسیم توان مناسب بین ریزشبکه ها صورت پذیرد [۹ و ۱۰].

در ریزشبکه های مدرن، مبدل های الکترونیک قدرت نقش مهمی را ایفاء می کنند به طوری که در سال های اخیر کاربردهای مختلفی برای این تجهیزات الکتریکی در ریزشبکه ها ارائه شده است. به عنوان مثال مبدل DC-DC چند رودی^۴ برای اتصال چند منبع توان DC به شین DC مشترک ریزشبکه معرفی شده است [۱۱ و ۱۲]. کاربرد ترانسفورماتورهای نیمه هادی^۵ با هدف پخش توان در ریزشبکه مطرح شده است [۱۳ و ۱۴]. بررسی کارهای قبلی انجام شده در این زمینه نشان می دهد که اتصال متعارف یک ریزشبکه DC به شبکه توزیع از طریق مبدل دوطرفه به DC انجام می پذیرد اما این روش مبادله توان را محدود و یا حداقل مراحل تبدیل توان را افزایش می دهد. در بعضی تحقیقات مبدل مازولار^۶ با مبدل پایه پل اکتیو دو طرفه یا همان مبدل DAB^۷ برای کاربرد ریزشبکه معرفی شده است که از تعداد کلید قدرت بسیار زیادی استفاده می شود و این موضوع هزینه، اندازه و حجم مبدل را افزایش و حتی در بعضی موارد بازده را کاهش می دهد. مشکل دیگر در طرح مذکور محدودیت توسعه مبدل واسطه برای افزایش ظرفیت توان انتقالی بین ریزشبکه و شبکه توزیع است.

در این مقاله به منظور افزایش سطح ایمنی ریزشبکه ها در تأمین مدام توان الکتریکی بارهای متصل به آن، ساختار شبکه توزیع DC متشکل از چندین ریزشبکه و یک مبدل مازولار دو طرفه با ایزولاسیون الکتریکی به عنوان واسطه انتقال توان بین ریزشبکه DC و شبکه توزیع پیشنهاد می شود. در ادامه راهبرد مدیریت توان بر اساس عملکرد مبدل DC-DC مازولار پیشنهادی برای ریزشبکه DC مورد مطالعه ارائه شده است تا عملکرد قابل اطمینانی را برای آن فراهم آورد. در نهایت عملکرد یک ریزشبکه DC بر پایه منبع توان فتو ولتاک (PV^۸) و پیل سوختی (FC^۹) در اتصال با شبکه توزیع DC با استفاده از نرم افزار PSCAD/EMTDC شبیه سازی می شود.

یکی از اولین پیامدهای رخدادن شرایط اضطراری نظیر جنگ در یک کشور آسیب دیدن خطوط انتقال انرژی و عدم تأمین انرژی الکتریکی شبکه توزیع تحت تغذیه خطوط مذکور است. (۱-۵) تجربه حملات تروریستی نشان می دهد که حمله به زیرساخت سیستم قدرت می تواند سبب قطع بار گستره و همچنین اختلال در سایر زیرساخت ها شود [۱]. یکی از اصول پدافند غیرعامل در زمینه انرژی الکتریکی بحث پراکندگی در تولید انرژی الکتریکی است چرا که تولید توان به شکل سنتی نیروگاه های متمرکز برای تأمین توان بارهای شبکه دارای امنیت کامل نیست. خطوط انتقال انرژی الکتریکی به دلیل فاصله طولانی از نیروگاه ها به شبکه توزیع و در نهایت بارهای الکتریکی در معرض آسیب های متعدد در شرایط اضطراری هستند. بنابراین رویکرد تأمین توان در فرم تولید پراکنده^۱ و ریزشبکه ها^۲ می تواند بستر سیستم قدرت را نسبت به تهدیدات موجود ایمن تر کند. ایرادی که در طرح تولید پراکنده و ریزشبکه ها وجود دارد این است که در صورت قطعی خطوط انتقال یا فوق توزیع حالت جزیره ای پیش می آید که در صورت مدام نبودن توان تولیدی بعد از مدت کوتاهی تغذیه بارها قطع خواهد شد.

پیشرفت های اخیر در استفاده از ریزشبکه ها برای افزایش بازده عملکرد و قابلیت اطمینان، سیستم های قدرت را برای تمرکز زدایی تولید توان مناسب کرده است [۲ و ۳]. با توجه به جایگاه ریزشبکه ها در نسل آینده شبکه های قدرت حفظ امنیت برق رسانی ریزشبکه ها مخصوصاً در شرایط بروز بحران در سیستم های قدرت نیاز به توجه جدی دارد. یکی از روش های حفظ امنیت برق رسانی ریزشبکه ها ایجاد ارتباط بین چند ریزشبکه است یا به اصطلاح ایجاد شبکه بین ریزشبکه ها است.^۳ ریزشبکه های شبکه شده می توانند از طریق ظرفیت های تولیدی محلی هم دیگر را حمایت کنند و از این طریق قابلیت اطمینان کل سیستم را افزایش دهند [۴-۶]. قابلیت عملکرد مستقل از شبکه سراسری، به عنوان یک ریزشبکه جزیره ای، قدمی مهم در اطمینان از عملکرد پایدار و پیوسته ناحیه در زمان از دست رفتن شبکه سراسری است [۷]. با استفاده از روش های کنترلی جدید از ظرفیت خود بازیابی ریزشبکه ها در اتصال آن ها به هم دیگر می توان بهره برد [۸]. این شرایط در صورتی میسر خواهد بود که توان مازاد ریزشبکه ها در اختیار ریزشبکه های مجاور آن ها قرار گیرد هر چند در طراحی روش های کنترلی باید اثرات منفی

⁴ Multi Input

⁵ Solid-State Transformers

⁶ Modular Converter

⁷ Dual Active Bridge

⁸ Photovoltaic

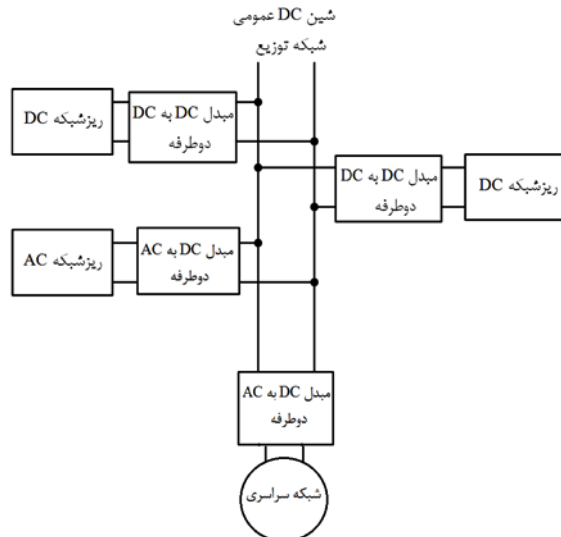
⁹ Fuel Cell

¹ Distributed Generation

² Microgrids

³ Networked Microgrids

ریزشبکه DC می‌تواند باتری یا سوپرخازن^۳ باشد. بر خلاف ریزشبکه‌های مرسوم که از مبدل AC-DC برای اتصال به شبکه سراسری استفاده می‌کنند، در ساختار پیشنهادی ریزشبکه DC از طریق یک مبدل DC-DC به شین عمومی متصل می‌شود.



شکل ۱. ساختار ریزشبکه‌های به هم پیوسته

۲-۲. مبدل DC-DC دو طرفه مازولار با ایزولاسیون الکتریکی^۴

ساختار مبدل DC-DC دو طرفه مازولار پیشنهادی برای اتصال ریزشبکه DC به شین DC عمومی شبکه توزیع در شکل (۲) نشان داده شده است. پل‌های مبدل از ساق‌های موازی تشکیل شده است که در هر یک از این ساق‌ها یک جفت کلید قدرت قرار دارد. سمت اولیه مبدل لینک DC متصل به یک پل مازولار موازی است و سمت ثانویه مبدل نیز لینک DC متصل به پل مازولار موازی دیگر است. ترانسفورماتورهای فرکانس بالا^۵ بین دو پل موازی قرار داده شده‌اند به طوری که سیم‌پیچ اولیه آن‌ها در پل سمت اولیه و سیم‌پیچ سمت ثانویه آن‌ها در پل سمت ثانویه مبدل قرار دارد. ترانسفورماتورهای فرکانس بالا ایزولاسیون الکتریکی بین دو سمت اولیه و ثانویه مبدل را فراهم می‌آورند و اندوکتانس نشتی آن‌ها به عنوان عنصر ذخیره کننده لحظه‌ای انرژی در انتقال توان از یک سمت مبدل به سمت دیگر نقش اساسی ایفا می‌کنند. دو پل مبدل ساختار کاملاً مشابهی دارند بنابراین یک ساختار متقاضی برای مبدل ایجاد می‌شود که این ویژگی مبدل امکان انتقال دو طرفه توان را فراهم می‌آورد.

۲. روش تحقیق

۲-۱. ساختار ریزشبکه‌های به هم پیوسته^۶

با توجه به گسترش روزافزون استفاده از منابع تولید پراکنده و ریزشبکه‌ها در شبکه‌های توزیع، بهره‌برداری از منابع تولید پراکنده و تأمین انرژی الکتریکی بارها مخصوصاً در شرایط بحرانی سیستم قدرت که اغلب با حالت جزیره‌ای بارها مخصوصاً در شرایط اضطراری ریزشبکه‌ها همراه است اهمیت ویژه‌ای دارد. در شرایط ساختار و شبکه قدرت باید بهره‌برداری از ریزشبکه‌ها از لحاظ ساختار و برنامه‌ریزی و مدیریت توان مورد توجه ویژه قرار گیرد. شکل (۱) ساختار شبکه توزیع DC به هم پیوسته را نشان می‌دهد. ایده اصلی این کار استفاده ریزشبکه‌ها از طرفیت توان هم دیگر است. در این طرح ریزشبکه‌های مختلف AC و DC به یک شین DC مشترک که با استفاده از یک مبدل AC-DC دو طرفه به شبکه سراسری متصل شده است در ارتباط هستند. ریزشبکه‌های AC و DC به ترتیب از طریق مبدل AC به DC و مبدل DC به DC دو طرفه به شین DC مشترک شبکه توزیع DC متصل می‌شوند. هر ریزشبکه می‌تواند شامل واحدهای مختلف تولید توان، ذخیره ساز انرژی و بارها باشد. مبدل AC-DC دو طرفه به شین DC شبکه توزیع متصل است تا ولتاژ این شین را از طریق مبدل‌له توان با شبکه سراسری تنظیم کند. زمانی که یک ریزشبکه نیاز به توان اضافی دارد و مجموع توان تزریقی از سایر ریزشبکه‌ها کافی نیست، مبدل AC-DC توان AC شبکه سراسری را به توان DC تبدیل و به شبکه توزیع DC به هم پیوسته تزریق می‌کند و زمانی که توان تزریقی ریزشبکه‌ها به شبکه توزیع بیش از توان مصرفی آن باشد، مبدل DC توان AC-DC مازاد شبکه توزیع را به توان AC تبدیل و به شبکه سراسری تزریق می‌کند. با اتصال ریزشبکه‌های مختلف به هم دیگر امنیت شبکه توزیع برای تأمین مداوم انرژی الکتریکی بارها افزایش می‌یابد و زمانی که در اثر شرایط اضطراری در شبکه قدرت، اختلالی در تأمین توان الکتریکی شبکه سراسری رخ دهد، اتصال ریزشبکه‌ها به هم دیگر امکان تأمین توان الکتریکی بارهای حساس شبکه فراهم می‌شود. یک ریزشبکه شامل چهار بخش اصلی واحد تولید توان، سیستم ذخیره ساز انرژی^۷، بار و یک مبدل برای اتصال به شبکه سراسری است. تولید انرژی الکتریکی می‌تواند از طریق توربین بادی، سیستم فتو ولتاچیک، پیل سوختی، ژئاتسور دیزلی و سایر منابع تولید پراکنده فراهم شود. سیستم ذخیره ساز انرژی در

³ Super Capacitor

⁴ Electrical isolation

⁵ PCC (Point Of common coupling)

⁶ High frequency transformer

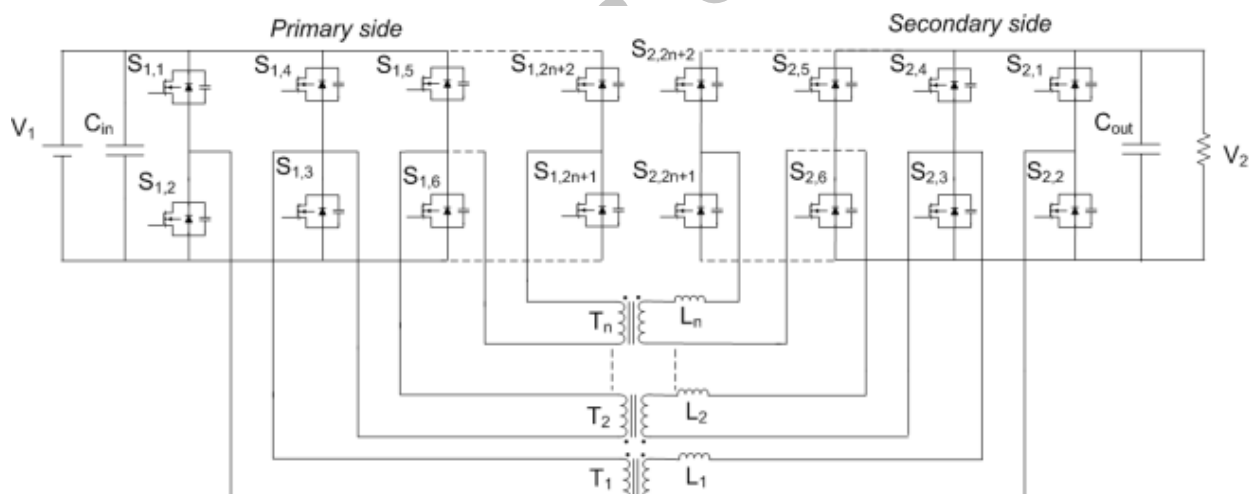
⁷ Integrated DC distribution network

² Energy Storage System

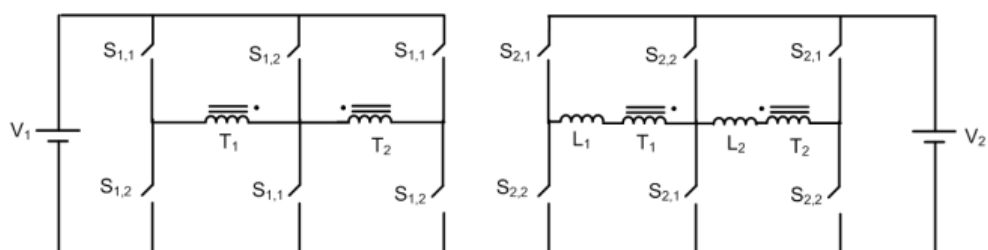
اولیه و در نیم سیکل اول دسته کلیدهای $S_{1,2}$ و در نیم سیکل دوم دسته کلیدهای $S_{1,1}$ هدایت می‌کنند. به طور مشابه در پل سمت ثانویه نیز در نیم سیکل اول دسته کلیدهای $S_{2,2}$ و در نیم سیکل دوم دسته کلیدهای $S_{2,1}$ هدایت می‌کنند. هدایت دسته کلیدهای $S_{1,1}$ و $S_{2,1}$ با اختلاف فازی نسبت به هم دیگر انجام می‌پذیرد که بر اساس این اختلاف فاز جهت و اندازه توان انتقالی تعیین می‌شود. اگر شکل موج اولیه نسبت به شکل موج ثانویه پیش فاز باشد توان از سمت اولیه به سمت ثانویه و اگر شکل موج ثانویه نسبت به شکل موج اولیه پیش فاز باشد توان از سمت ثانویه به سمت اولیه مبدل منتقل می‌شود. شرایط دقیقاً مشابهی برای کلیدزنی دسته کلیدهای $S_{1,2}$ و $S_{2,2}$ با همان اندازه اختلاف فاز برقرار است. فرآیند انتقال توان از ولتاژی که در نتیجه اختلاف فاز دو سمت روی اندوکتانس معادل قرار می‌گیرد آغاز می‌شود. در ساختار مبدل اندوکتانس معادل نقش ذخیره‌کننده لحظه‌ای و انتقال‌دهنده انرژی را ایفاء می‌کند به‌طوری که ولتاژ روی اندوکتانس باعث ایجاد جریان و در نتیجه انتقال توان از یک سمت به سمت دیگر مبدل می‌شود.

ساختار متقارن و امکان مبادله دو طرفه توان، ایجاد ایزولاسیون الکتریکی بین دو سمت DC مبدل و چگالی توان بالا از مهم‌ترین ویژگی‌های مبدل پیشنهادی است.

در ساختار مبدل پیشنهادی، دو پل مازولار دو طرفه تولید ولتاژ AC برای سمت ترانسفورماتورها و یکسو کردن ولتاژ AC فرکانس بالا برای لینک DC مبدل را بر عهده دارند. نحوه انتقال توان از یک سمت مبدل به سمت دیگر آن بر اساس کنترل شیفت فاز^۱ بین شکل موج‌های AC تولیدی توسط دو پل است. برای درک راحت‌تر اصول عملکرد مبدل مازولار، ساختار مبدل پیشنهادی با دو مازول در شکل (۳) نشان داده شده است. شکل (۴) نحوه کلیدزنی مبدل را در دو نیم سیکل متوالی نشان می‌دهد. کلیدهای مجاور به صورت مکملی و با سیکل کاری ۵۰ درصد روشن و خاموش می‌شوند تا شکل موج مربعی AC در اولیه و ثانویه دو ترانسفورماتور ایجاد نشود. بنابراین در پل سمت

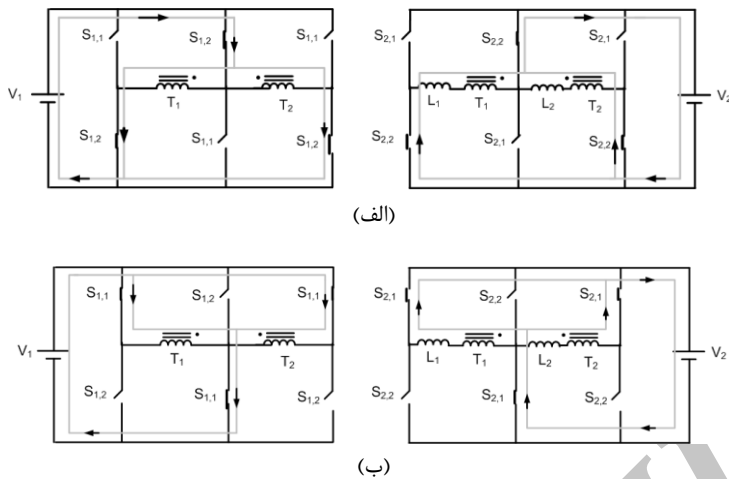


شکل ۲. ساختار مبدل DC-DC دو طرفه مازولار پیشنهادی برای اتصال یک ریزشبکه DC به شین شبکه توزیع DC



شکل ۳. ساختار ساده‌شده مبدل DC-DC پیشنهادی با دو مازول

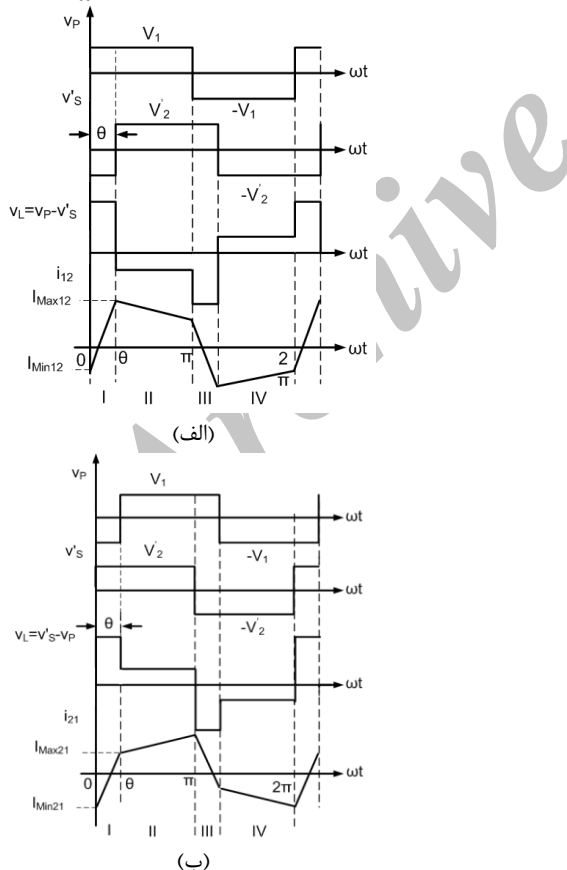
^۱ Phase shift control



شکل ۴. نحوه کلیدزنی مبدل در (الف) نیم سیکل اول کلیدزنی، (ب) نیم سیکل دوم کلیدزنی

به طور مشابه رابطه جریان برای دوره زمانی II نیز از رابطه (۲) بدست می‌آید.

$$i_{12}(\omega t) = \left(\frac{V_1 - V_2}{L\omega} \right) (\omega t - \theta) + i_{12}(\theta), \quad \theta \leq \omega t \leq \pi \quad (2)$$



شکل ۵. شکل موج‌های ولتاژ موج مربعی اولیه و ولتاژ انتقال یافته ثانویه، ولتاژ اندوکتانس معادل در هر مازول و جریان عبوری از ترانسفورماتور برای (الف) انتقال توان از سمت اولیه به سمت ثانویه، (ب) انتقال توان از سمت ثانویه به سمت اولیه

شکل موج‌های ولتاژ مربعی طرف اولیه و ثانویه یکی از ترانسفورماتورها همراه با ولتاژ روی اندوکتانس معادل در طرف اولیه ترانسفورماتور و جریان عبوری از آن برای انتقال توان از سمت اولیه به سمت ثانویه در شکل (۵) نشان داده شده است البته با پیش‌فاز کردن ولتاژ ثانویه نسبت به ولتاژ اولیه می‌توان شکل موج‌های مربوط به انتقال توان از سمت ثانویه مبدل به سمت اولیه را نیز به دست آورد

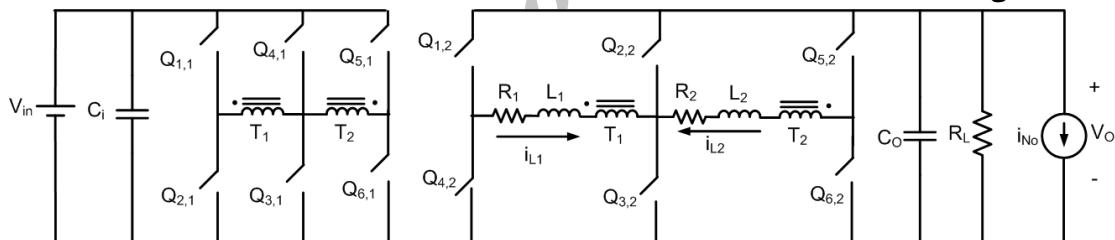
در تحلیلی که در ادامه می‌آید v_p و v_s به ترتیب نشان‌دهنده ولتاژ موج مربعی AC تولیدشده در سمت اولیه و ثانویه ترانسفورماتور، n نسبت تعداد دور سیم پیچ اولیه به سیم پیچ ثانویه ترانسفورماتور، v_s' ولتاژ موج مربعی AC سمت ثانویه انتقال یافته به اولیه ترانسفورماتور که برابر با $n v_s$ است، V_1 اندازه ولتاژ DC سمت اولیه مبدل، V_2 اندازه ولتاژ DC سمت ثانویه مبدل، V_2' ولتاژ DC سمت ثانویه منقل شده به سمت اولیه که برابر است با $v_s' \sin \theta$ و V_2 ولتاژ روی اندوکتانس معادل ترانسفورماتور، L اندوکتانس معادل ترانسفورماتور که برابر با مجموع اندوکتانس نشتی ترانسفورماتور و اندوکتانس کمکی خارجی است، i_{12} جریان عبوری از ترانسفورماتور و اندوکتانس معادل از سمت اولیه به سمت ثانویه و i_{21} جریان عبوری از ترانسفورماتور و اندوکتانس معادل از سمت ثانویه به سمت اولیه است. محاسبه روابط برای انتقال توان الکتریکی از سمت اولیه به سمت ثانویه مبدل در نظر گرفته می‌شود و برای انتقال توان در جهت معکوس روابط مشابهی را می‌توان به دست آورد. همان طور که در شکل (۵) نشان داده شده است، جریان در دوره زمانی I در سمت اولیه ترانسفورماتور برابر با رابطه (۱) است.

$$i_{12}(\omega t) = \left(\frac{V_1 + V_2}{L\omega} \right) \omega t + i_{12}(0), \quad 0 \leq \omega t \leq \theta \quad (1)$$

$$P_o = NP_{12} = N \frac{nV_1 V_2}{L\omega} \theta \left(1 - \frac{\theta}{\pi}\right) \quad (7)$$

۳-۲. مدل سیگنال کوچک مبدل مازولار پیشنهادی

برای بررسی عملکرد حالت دینامیکی مبدل DC-DC دو طرفه مازولار پیشنهادی و طراحی کنترل کننده برای بهبود رفتار دینامیکی آن، لازم است با روش مناسبی به مدل سازی دینامیکی آن پرداخته شود. روش متوسط گیری فضای حالت، روشهای مرسوم برای مدلسازی مبدل‌های کلیدزنی است. به کارگیری این روش در مبدل‌های DC-DC مستلزم چشم‌پوشی کردن از ریپل جریان مدل است اما این روش برای مبدل پیشنهادی قابل استفاده نیست چرا که جریان عبوری از ترانسفورماتورهای آن، جریان AC خالص هستند و در حالت ایده‌آل مقدار متوسط DC آن‌ها صفر است. در این مقاله از روش متوسط گیری تعمیم‌یافته برای مدل سازی مبدل پیشنهادی استفاده می‌شود. در این روش از تعداد بیشتری از ضرایب سری فوریه برای بیان یک متغیر استفاده می‌شود. این روش پیش‌تر برای مدل سازی دینامیکی مبدل‌های مختلفی [۱۵-۱۷] استفاده شده است. مدل ساده‌شده مبدل DC-DC پیشنهادی برای تحلیل سیگنال کوچک در شکل (۶) نشان داده شده است.



$$\frac{dv_o(t)}{dt} = -\frac{1}{R_L C_o} v_o(t) + \frac{2}{C_o} \eta_2(t) i_L(t) - \frac{i_{No}}{C_o} \quad (8)$$

$$\frac{di_L(t)}{dt} = -\frac{R_t}{L_t} i_L(t) + \frac{\eta_1(t)}{n L_t} v_{in}(t) - \frac{\eta_2(t)}{L_t} v_o(t) \quad (9)$$

که در روابط بالا $\eta_1(t)$ و $\eta_2(t)$ به عنوان توابع کلیدزنی پل‌های مازولار اولیه و ثانویه مبدل به شرح زیر تعریف می‌شوند. در این روابط T برابر $2\pi/\omega$ و δ به عنوان نسبت شیفت فاز برابر با θ/π تعریف می‌شود.

$$\eta_1(\tau) = \begin{cases} 1 & 0 \leq t < \frac{T}{2}, \\ -1 & \frac{T}{2} \leq t < T \end{cases} \quad (10)$$

$$\eta_2(\tau) = \begin{cases} 1 & \frac{\delta T}{2} \leq t < \frac{\delta T}{2} + \frac{T}{2} \\ -1 & 0 \leq t < \frac{\delta T}{2} \text{ and } \frac{\delta T}{2} + \frac{T}{2} \leq t < T \end{cases}$$

در حالت دائمی جریان ترانسفورماتور برای هر نیم سیکل متقاضی است بنابراین می‌توان برای رابطه $i_{12}(0) = -i_{12}(\pi)$ را در نظر گرفت. با استفاده از روابط (۱) و (۲) مقادیر حداکثر و حداقل جریان ترانسفورماتور مطابق روابط (۳) و (۴) تعریف می‌شوند.

$$I_{M_{min12}} = -\frac{(V_1 + V_2')\theta + (V_1 - V_2)(\pi - \theta)}{2L\omega} \quad (3)$$

$$I_{M_{max12}} = \frac{(V_1 + V_2)\theta - (V_1 - V_2)(\pi - \theta)}{2L\omega} \quad (4)$$

با توجه به شکل (۵) و روابط (۱-۴) متوسط جریان ورودی مبدل مطابق با رابطه زیر به دست می‌آید:

$$\bar{i}_{12} = \frac{V_2'}{L\omega} \theta \left(1 - \frac{\theta}{\pi}\right) \quad (5)$$

اگر از تلفات مبدل صرف‌نظر شود، توان خروجی آن برابر با توان ورودی تقریب زده می‌شود. بنابراین مقدار توان انتقالی توسط یک مازول مبدل از سمت اولیه به سمت ثانویه مبدل از رابطه (۶) محاسبه می‌شود.

$$P_{12} = \frac{V_1 V_2'}{L\omega} \theta \left(1 - \frac{\theta}{\pi}\right) = \frac{n V_1 V_2}{L\omega} \theta \left(1 - \frac{\theta}{\pi}\right) \quad (6)$$

در نهایت کل توان انتقالی توسط مبدل با تعداد N مازول از رابطه (۷) به دست می‌آید:

شکل ۶. مدل ساده‌شده مبدل مازولار پیشنهادی

فرضیات مدل سازی از این قرار است که از جریان مغناطیس‌کنندگی ترانسفورماتورها صرف‌نظر و افت ولتاژ روی کلیدهای قدرت ناچیز در نظر گرفته می‌شود. اندازه خازن و ولتاژ رودی معمولاً به اندازه کافی بزرگ فرض می‌شود که از دینامیک آن می‌توان صرف‌نظر کرد. مجموع اندوکتانس نشتی ترانسفورماتور و اندوکتانس کمکی خارجی هر مازول باهم مشابه و برابر مقدار L_t و مجموع مقاومت حالت روش بودن کلیدهای و مقاومت سیم‌پیچی هر یک از ترانسفورماتورها و اندوکتانس کمکی خارجی تحت عنوان مقاومت معادل مازول با R_t نشان داده می‌شوند که هر دو به سمت ثانویه ترانسفورماتورها منتقل می‌شوند.

اگر جریان ترانسفورماتور، i_L و ولتاژ خازن خروجی، v_o ، به عنوان متغیرهای حالت در نظر گرفته شوند، معادلات حالت مبدل پیشنهادی مطابق با روابط (۸) و (۹) خواهد بود [۱۷].

متغیرهای حالت از مقادیر حالت دائمی به صورت $\delta = \Delta + d\delta$, $v_{00} = V_{00} + dv_{00}$, $i_{L1R} = I_{L1R} + di_{L1R}$, $i_{L1I} = I_{L1I} + di_{L1I}$ تعریف می‌شوند. در این رابطه حروف بزرگ نشان‌دهنده حالت دائمی متغیرها، حروف کوچک نشان‌دهنده سیگنال بزرگ متغیرها و حروف همراه با علامت d نشان‌دهنده سیگنال کوچک متغیرها می‌باشند. با توجه به تعریف متغیرهای حالت، ماتریس فضای حالت مطابق روابط (۱۱) و (۱۲) بیان می‌شود.

$$\frac{d}{dt} \begin{bmatrix} v_{00} \\ i_{L1R} \\ i_{L1I} \end{bmatrix} = \begin{bmatrix} -\frac{1}{RC_o} & -4N \sin \delta \pi & -4N \cos \delta \pi \\ \frac{2 \sin \delta \pi}{\pi L_t} & \frac{\pi C_o}{R} & \pi C_o \\ \frac{2 \cos \delta \pi}{\pi L_t} & -\omega & -\frac{R_t}{L_t} \end{bmatrix} \begin{bmatrix} v_{00} \\ i_{L1R} \\ i_{L1I} \end{bmatrix} + \begin{bmatrix} 0 & -\frac{1}{C_o} \\ 0 & 0 \\ -\frac{2}{\pi n L_t} & 0 \end{bmatrix} \begin{bmatrix} V_{in} \\ I_{No} \end{bmatrix} \quad (11)$$

$$\frac{d}{dt} \begin{bmatrix} V_{00} + dv_{00} \\ I_{L1R} + di_{L1R} \\ I_{L1I} + di_{L1I} \end{bmatrix} = \begin{bmatrix} -\frac{1}{RC_o} & -4N \sin(\Delta + d\delta) \pi & -4N \cos(\Delta + d\delta) \pi \\ \frac{2 \sin(\Delta + d\delta) \pi}{\pi L_t} & \frac{\pi C_o}{R} & \pi C_o \\ \frac{2 \cos(\Delta + d\delta) \pi}{\pi L_t} & -\omega_s & -\frac{R_t}{L_t} \end{bmatrix} \begin{bmatrix} V_{00} + dv_{00} \\ I_{L1R} + di_{L1R} \\ I_{L1I} + di_{L1I} \end{bmatrix} + \begin{bmatrix} 0 & -\frac{1}{C_o} \\ 0 & 0 \\ -\frac{2}{\pi n L_t} & 0 \end{bmatrix} \begin{bmatrix} V_i \\ I_N \end{bmatrix} \quad (12)$$

الکترونیک قدرت است. با کمک این تابع می‌توان به مطالعه پاسخ فرکانسی و پاسخهای حالت گذرا و حالت دائمی سیستم مورد نظر پرداخت. تابع تبدیل کنترل به خروجی مبدل مازولار پیشنهادی از طریق رابطه (۱۴) حاصل می‌شود که به کمک آن می‌توان کنترل کننده مناسب برای آن طراحی نمود.

$$\frac{dx}{dt} = Ax + Bu$$

$$y = Cx + Du$$

$$x = \begin{bmatrix} dv_{00} \\ di_{L1R} \\ di_{L1I} \end{bmatrix}, \quad A = \begin{bmatrix} -\frac{1}{RC_o} & -4N \sin(\Delta \pi) & -4N \cos(\Delta \pi) \\ \frac{2 \sin(\Delta \pi)}{\pi L_t} & \frac{\pi C_o}{R} & \pi C_o \\ \frac{2 \cos(\Delta \pi)}{\pi L_t} & -\omega_s & -\frac{R_t}{L_t} \end{bmatrix}, \quad B = \begin{bmatrix} \frac{4N}{C_o} (I_{L1I} \sin(\Delta \pi) - I_{L1R} \cos(\Delta \pi)) \\ \frac{2}{L_t} V_{00} \cos(\Delta \pi) \\ -\frac{2}{L_t} V_{00} \sin(\Delta \pi) \end{bmatrix} \quad (13)$$

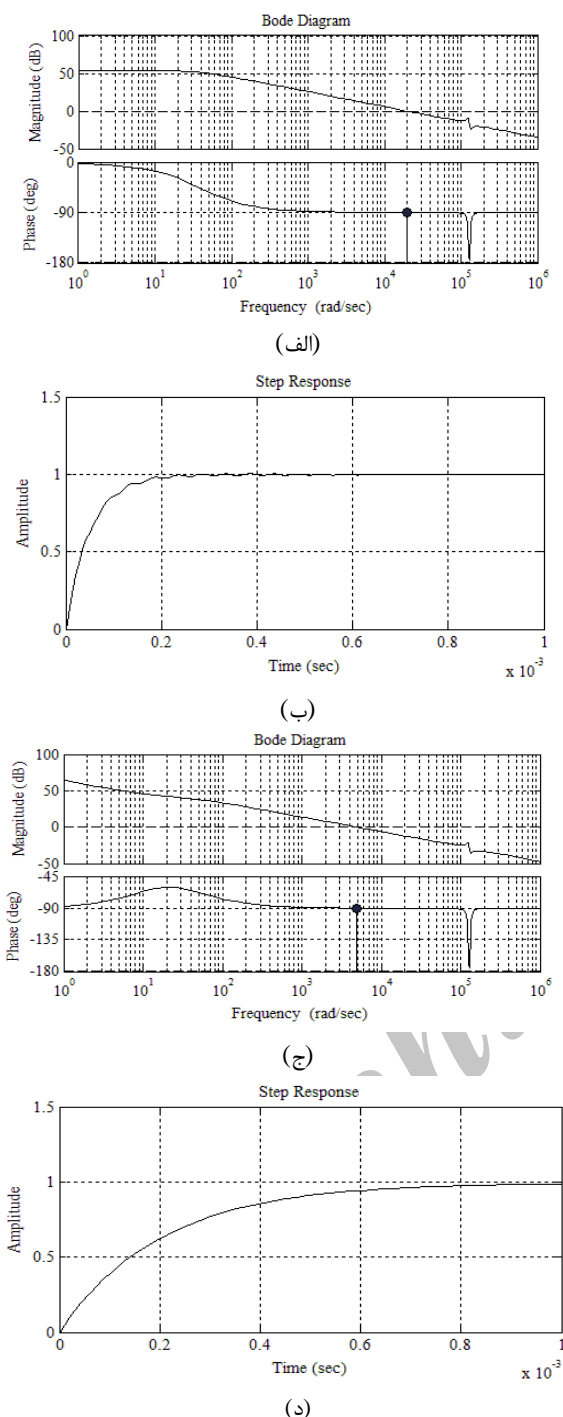
$$y = dv_{00}, \quad C = [1 \quad 0 \quad 0], \quad D = [0], \quad u = d\delta$$

$$G_{v\delta}(s) = C(sI - A)^{-1} B + D = \frac{(I_{L1I} \sin(\Delta \pi) - I_{L1R} \cos(\Delta \pi)) \left(\frac{4}{C_o} s^2 + \frac{8R_t}{L_t C_o} s + \frac{4R_t^2}{C_o L_t^2} + \frac{4\omega_s^2}{C_o} \right) + \frac{8V_{00}\omega_s}{L_t \pi C_o}}{s^3 + \left(\frac{2R_t}{L_t} + \frac{1}{RC_o} \right) s^2 + \left(\frac{R_t^2}{L_t^2} + \frac{2R_t}{RL_t C_o} + \omega_s^2 + \frac{8}{\pi^2 L_t C_o} \right) s + \frac{1}{RC_o} \left(\frac{R_t^2}{L_t^2} + \omega_s^2 \right) + \frac{8R_t}{\pi^2 L_t^2 C_o}} \quad (14)$$

مطابق با جدول (۱) نشان می‌دهند. حد فاز سیستم حلقه باز برابر ۹۰/۲ درجه است. واضح است که بهره فرکانس پایین تابع تبدیل

طراحی کنترل کننده نیاز به استخراج تابع تبدیل سیگنال کوچک کنترل به خروجی مبدل دارد. این تابع تبدیل پاسخ دینامیکی مبدل را در اثر اختلالات کوچک در سیگنال کنترلی نشان می‌دهد. در رابطه به دست آمده برای معادلات حالت زمانی که یک اختلال کوچک در سیگنال کنترلی مبدل یعنی δ پدید آید، متغیرهای حالت i_{L1R} و i_{L1I} از مقدار حالت دائمی خود منحرف می‌شوند. با فرض اینکه ولتاژ ورودی ثابت است، انحراف

در رابطه (۱۲) بخش‌های غیرخطی تقریب زده می‌شوند و روابط به دست آمده ساده‌سازی می‌شوند. سپس از طریق برابر سازی مقادیر DC دو طرف و صرفنظر از جملات کوچک، مدل سیگنال کوچک مبدل پیشنهادی در فرم فضای مطابق رابطه (۱۳) به دست می‌آید. تابع تبدیل کنترل به خروجی یک معیار سنجش برای مدل متوسط سیگنال کوچک مبدل‌های



شکل ۷. (الف) دیاگرام بد، (ب) پاسخ پله سیستم جبران‌سازی نشده، (ج) دیاگرام بد، (د) پاسخ پله، سیستم جبران‌سازی شده

۴-۴. راهبرد مدیریت توان ریزشبکه DC در اتصال به شبکه توزیع به هم پیوسته
ریزشبکه DC باید بتواند در شرایط مختلفی که در اثر تولید غیرقطعی منبع تولید توان PV و همچنین تغییرات مختلف بار پیش می‌آید با قابلیت اطمینان بالایی مورد بهره‌برداری قرار گیرد.

برای تنظیم ولتاژ DC مناسب نیست. بنابراین لازم است تا یک جبران ساز مناسب برای کنترل مبدل ماژولار طراحی شود تا بتواند با پاسخ‌های مناسب حالت گذرا و حالت دائمی به صورت یک سیستم پایدار عمل بکند. یک کنترل‌کننده PI با تبدیل زیر طراحی و برای مبدل ماژولار در نظر گرفته می‌شود.

$$G_{com}(s) = K_p \left(1 + \frac{I}{T_i s} \right) \quad (15)$$

لازم است پارامترهای جبران ساز K_p و T_i به نحوی به دست آید که سیستم حلقه بسته حداقل اضافه جهش و زمان نشست مناسبی در پاسخ به ورودی پله داشته باشد. در این پژوهش ضرایب جبران ساز PI با استفاده از روش بهینه‌سازی محاسباتی به دست آمده است. هدف به دست آوردن ترکیبی از پارامترها به نحوی است که حداقل اضافه جهش بین ۱۰ تا ۱۲ درصد و زمان نشست کمتر از ۳ میلی‌ثانیه در پاسخ به ورودی پله ظاهر شود. با شرایط هدف تعیین شده برای محاسبات، ضریب تناسبی جبران‌ساز برابر $K_p=0.03$ و ضریب مشتقی جبران ساز برابر $T_i=1.1 \times 10^{-3} \text{ sec}$ به دست می‌آید.

شکل (۷-ج) دیاگرام بد تابع تبدیل حلقه باز سیستم جبران‌سازی شده را نشان می‌دهد. جبران‌ساز مورد استفاده بهره حلقه فرکانس پایین را افزایش می‌دهد که این موضوع منجر به تنظیم بهتر ولتاژ DC خروجی مبدل می‌شود و این در حالی است که حد فاز سیستم جبران‌سازی شده نسبت به حالت قبل از جبران‌سازی تغییری نداشته است.

شکل (۷-د) پاسخ پله تابع تبدیل حلقه بسته سیستم جبران‌سازی شده را نشان می‌دهد. زمان نشست به ۰/۸۵ ثانیه کاهش پیدا کرده است. همچنین نوسانات فرکانس بالا حذف شده است. بنابراین با در نظر گرفتن شرایط پایداری، پاسخ حالت گذرا و پاسخ حالت دائمی سیستم جبران‌سازی شده، جبران ساز طراحی شده به طور مناسب عمل می‌کند.

جدول ۱. مقادیر پارامترهای مبدل ماژولار شبیه‌سازی شده

تعداد ماژول‌های مبدل	توان خروجی
۲	۲۵۰۰ وات
	ولتاژ ثانویه ۲۰۰ ولت
	ولتاژ اولیه ۱۰۰ ولت
۲۰	فرکانس کلیدزنی ۵۰:۱۰۰ کیلوهرتز
۳۵	اندوکتانس نشتی کل نسبت تبدیل ترانسفورماتورها ($n_1:n_2$) ۱:۸۵ میکروهانتری
۱۸۵	مقاومت معادل کل خازن فیلتر خروجی ۳۳۰ میکرو فاراد
۱۵۰	خازن‌های استابر ۱۵۰ پیکو فاراد

برای مصرف بارهای ریزشبکه باشد ریزشبکه در حالت جزیره‌ای قرار می‌گیرد و مبدل DC-DC مازولار به حالت غیرفعال در می‌آید. بر حسب شرایط مختلفی که ممکن است در ریزشبکه DC پیش بیاید و بر حسب راهبرد مدیریت توان مطرح شده، مدهای عملکردی ریزشبکه به شرح زیر تعریف می‌شوند.

در روابطی که در ادامه می‌آیند، P_{PV} نشان‌دهنده توان تولیدی منبع PV، P_{FC} نشان‌دهنده توان تولیدی منبع FC، P_{Batt} توان مربوط به شارژ یا دشارژ باتری، P_{Load} مربوط به توان مصرفی DC و P_{Conv} توان انتقالی از شبکه توزیع DC به ریزشبکه DC توسط مبدل مازولار پیشنهادی هستند.

مد اول: این مد عملکردی حالتی را نشان می‌دهد که مجموع توان تولیدی PV و FC بیش از توان مورد نیاز برای شارژ باتری و مصرف بارهای ریزشبکه است بنابراین مازاد توان تولیدی PV از طریق مبدل مازولار DC-DC به شبکه توزیع DC منتقل می‌شود.

$$\begin{aligned} P_{PV} + P_{FC} &> P_{Batt} + P_{Load} \\ P_{Conv} &= (P_{Batt} + P_{Load}) - (P_{PV} + P_{FC}) < 0 \end{aligned} \quad (16)$$

مد دوم: در این مد مجموع توان تولیدی PV و FC با مجموع توان مورد نیاز مصرف بار و شارژ باتری برابر است بنابراین توانی از ریزشبکه به شبکه توزیع DC یا بر عکس منتقل نمی‌شود و مبدل DC-DC مازولار در حالت شناور قرار می‌گیرد.

$$\begin{aligned} P_{PV} + P_{FC} &= P_{Batt} + P_{Load} \\ P_{Conv} &= P_{PV} + P_{FC} - (P_{Batt} + P_{Load}) = 0 \end{aligned} \quad (17)$$

مد سوم: این مد بیانگر حالتی است که مجموع توان تولیدی PV و FC کمتر از توان مورد نیاز مصرف بار و شارژ باتری است بنابراین لازم است مبدل مازولار مقدار توان مورد نیاز ریزشبکه را از شبکه توزیع DC جذب و به ریزشبکه منتقل نماید.

$$\begin{aligned} P_{PV} + P_{FC} &< P_{Batt} + P_{Load} \\ P_{Conv} &= (P_{Batt} + P_{Load}) - (P_{PV} + P_{FC}) > 0 \end{aligned} \quad (18)$$

مد چهارم: در شرایط بحرانی و زمانی که شبکه توزیع DC به دلیل قطعی بالا دست از شبکه سراسری جدا شود در صورتی که تزریق توان به شین DC عمومی کمتر از جذب توان از آن باشد، ولتاژ شین به پایین‌تر از ولتاژ مرجع جزیره‌ای می‌رسد. در این حالت انتقال توان فقط از ریزشبکه به شبکه توزیع DC می‌سرد. در این مد مجموع توان تولیدی PV و ذخیره ساز FC از شبکه توزیع DC می‌شود تا ولتاژ شین آن به مقدار نامی نزدیک شود.

بر حسب شرایط مختلف بار و توان تولیدی، ریزشبکه وظیفه تولید توان مورد نیاز، ذخیره‌سازی توان مازاد و تعدیه بارهای مختلف شبکه را بر عهده دارد.

راهبرد مدیریت توان ریزشبکه بر حسب وظایف تعیین شده برای هر یک از بخش‌های آن طراحی می‌شود. وظیفه تنظیم ولتاژ شین DC ریزشبکه در زمان اتصال به شبکه توزیع DC بر عهده مبدل DC-DC دو طرفه مازولار است به طوری که این مبدل می‌تواند با استفاده از قابلیت انتقال دو طرفه توان کمبود توان ریزشبکه را از شبکه توزیع DC جذب و مازاد توان تولیدی DC ریزشبکه را به شبکه توزیع DC تزریق نماید. کنترل مبدل DC-DC افزاینده متصل به پایانه منبع PV بر این اساس طراحی شده است که همیشه بیشینه مقدار توان PV به ریزشبکه تزریق شود. مبدل DC-DC افزاینده-کاهنده متصل به ترمینال ذخیره ساز انرژی در شرایطی که ریزشبکه به شبکه توزیع DC متصل است وظیفه دارد مازاد توان تولیدی PV و FC که بعد از مصرف بارهای ریزشبکه باقی می‌ماند جذب و صرف شارژ باتری نماید. توان تولیدی منبع PV که مازاد بر مصرف بار و شارژ ذخیره ساز انرژی است از طریق مبدل مازولار به شبکه توزیع DC منتقل می‌شود تا ولتاژ شین DC عمومی ریزشبکه در مقدار نامی تنظیم شود و دچار اضافه ولتاژ نشود. در صورتی که توان تولیدی منبع PV و FC کمتر از مجموع توان مورد نیاز مصرف بار و شارژ ذخیره ساز انرژی باشد مبدل مازولار توان را از شبکه توزیع DC جذب و به ریزشبکه تزریق می‌نماید تا شین DC ریزشبکه در مقدار نامی تنظیم شود.

شبکه توزیع DC به شبکه سراسری متصل است و در حالت عادی می‌تواند از شبکه سراسری توان جذب نماید و یا مازاد توان ریزشبکه‌های به هم پیوسته را به شبکه سراسری تزریق نماید. در شرایط بحرانی که شبکه سراسری دچار قطعی از بالا دست می‌شود شبکه توزیع DC در حالت جزیره‌ای قرار می‌گیرد. در چنین شرایطی هر یک از ریزشبکه‌ها بر حسب شرایط منبع تولید توان، ذخیره ساز انرژی و بار می‌توانند در اتصال با شبکه توزیع باشند و یا به حالت جزیره‌ای درآیند که در این صورت مبدل DC-DC ذخیره‌ساز انرژی در حالت افزاینده در حالت دشارژ ذخیره‌ساز انرژی کنترل می‌شود. اگر مجموع توان تولیدی منابع PV و ذخیره ساز انرژی بیش از توان مصرفی بارها باشد، انرژی از ریزشبکه به شبکه توزیع منتقل می‌شود که می‌تواند در ریزشبکه‌هایی که نیاز به مصرف توان دارند جذب شود. زمانی که توان تولیدی منبع PV و ذخیره ساز انرژی کمتر از توان مورد نیاز

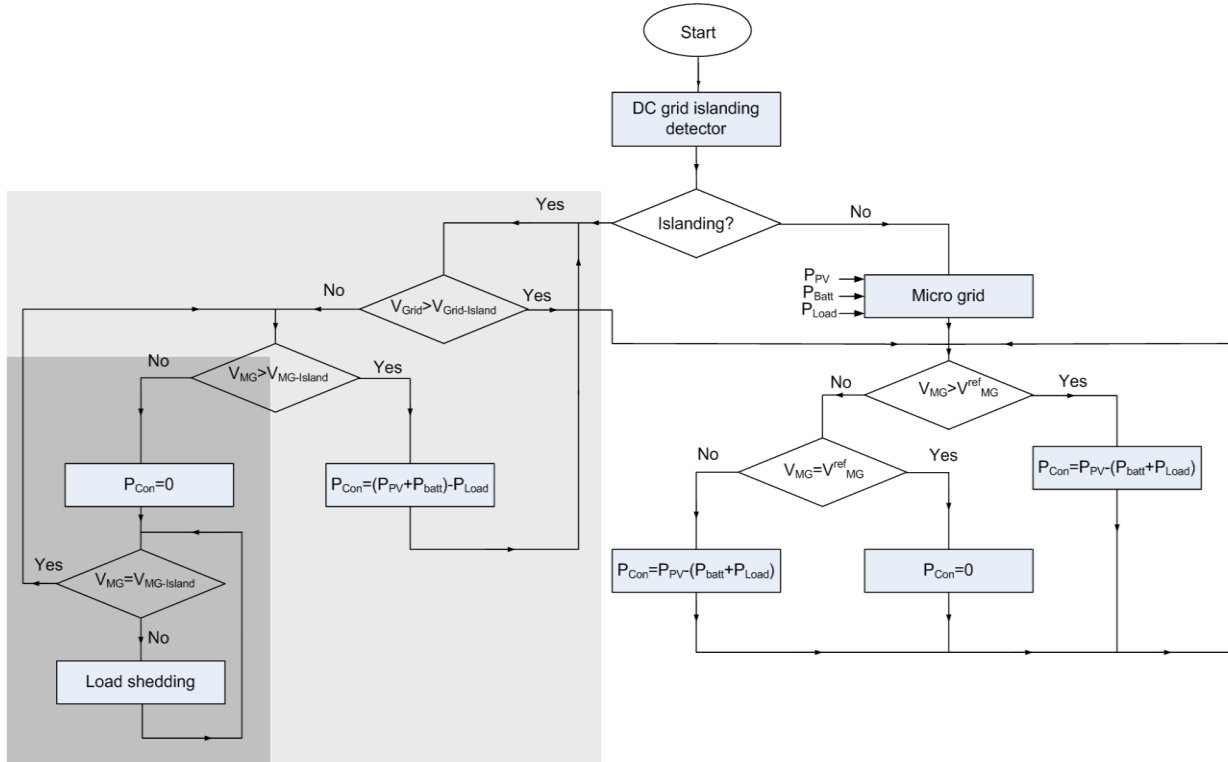
شبکه توزیع DC به ریزشبکه DC وجود ندارد فرآیند حذف بارهای غیرضروری ریزشبکه آغاز می‌شود تا ولتاژ شین DC ریزشبکه در حالت جزیره‌ای به مقدار نامی نزدیک شود.

$$\begin{aligned} P_{\text{PV}} + P_{\text{FC}} + P_{\text{Batt}} &\leq P_{\text{Load}} \\ P_{\text{Conv}} &= 0 \end{aligned} \quad (20)$$

شکل (۸) روند نمای راهبرد پیاده‌سازی شده برای مدیریت توان ریزشبکه را در اتصال با ریزشبکه‌های دیگر نشان می‌دهد.

$$\begin{aligned} P_{\text{PV}} + P_{\text{FC}} + P_{\text{Batt}} &> P_{\text{Load}} \\ P_{\text{Conv}} = P_{\text{Load}} - (P_{\text{PV}} + P_{\text{FC}} + P_{\text{Batt}}) &< 0 \end{aligned} \quad (19)$$

مد پنجم و ششم: این مد عملکرد حالت جزیره‌ای ریزشبکه را نشان می‌دهد. در این حالت مجموع توان PV، FC و باتری برای تغذیه بار کافی نیست. در صورتی که مجموع توان PV، FC و باتری با توان بار برابر باشد ریزشبکه در حالت ایزووله از شبکه توزیع DC تغذیه بار را دنبال می‌کند. اگر مجموع توان PV و FC با تری کمتر از توان مورد نیاز بار باشد، چون امکان انتقال توان از

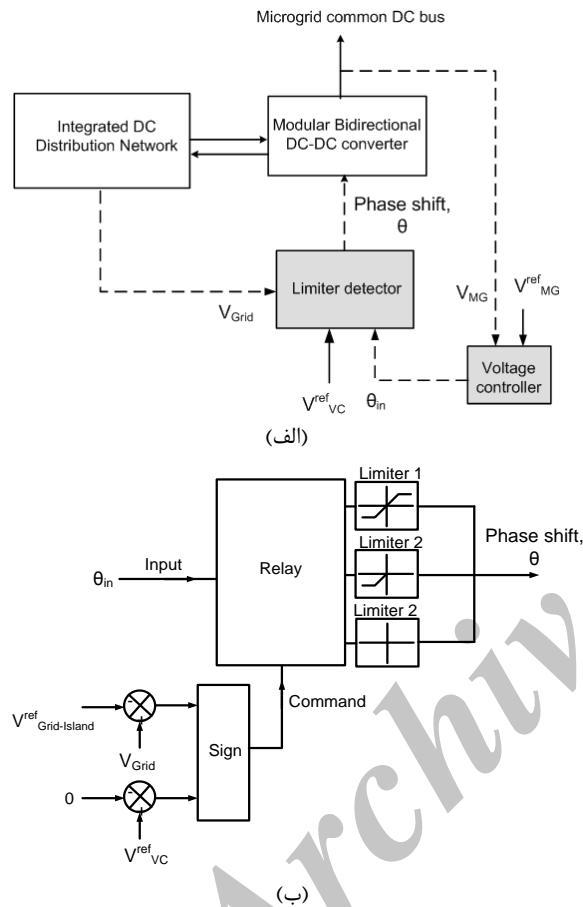


شکل ۸. روند نمای راهبرد مدیریت توان پیاده‌سازی شده برای ریزشبکه‌های دیگر

ولتاژ به کار گرفته شده است تا ولتاژ مرجع باتری $V_{\text{batt}}^{\text{ref}}$ را با لحاظ کردن ولتاژ تنظیم باتری، V_{batt}^R ، و ولتاژ مرجع کنترل ولتاژ ریزشبکه، $V_{\text{VC}}^{\text{ref}}$ ، کنترل کننده ولتاژ ریزشبکه، $V_{\text{MG-Island}}^{\text{ref}}$ ، ولتاژ ریزشبکه را با ولتاژ مرجع حالت جزیره‌ای، $V_{\text{Grid-Island}}^{\text{ref}}$ مقایسه می‌کند. ولتاژ $V_{\text{MG-Island}}^{\text{ref}}$ با توجه به وضعیت شارژ موجود باتری تعیین می‌کند. اگر ولتاژ باتری V_{batt} بیشتر از حداقل ولتاژ قابل قبول باتری $V_{\text{batt}}^{\text{min}}$ باشد، رله موجود در مسیر ولتاژ $V_{\text{MG-Island}}^{\text{ref}}$ را برابر با $V_{\text{Grid-Island}}^{\text{ref}}$ قرار می‌دهد و اگر ولتاژ باتری V_{batt} کمتر از حداقل ولتاژ قابل قبول باتری $V_{\text{batt}}^{\text{min}}$ باشد یعنی باتری شارژ کافی برای تغذیه بار نداشته باشد، $V_{\text{MG-Island}}^{\text{ref}}$ توسط رله در مقدار ولتاژ مرجع حذف بار، V_{shed} ، قرار می‌گیرد تا از این طریق سیستم حذف بار فعال شود و بخشی از بارهای کم اهمیت ریزشبکه قطع

مبدل DC-DC مازولار پیشنهادی به عنوان واسطه انتقال توان بین ریزشبکه DC و شبکه توزیع DC وظیفه ثبیت ولتاژ شین DC ریزشبکه را در مقدار نامی آن بر عهده دارد. به دلیل وجود ترانسفورماتورهای فرکانس بالا بین دو پل مازولار مبدل، ایزولاسیون الکتریکی بین ریزشبکه DC و شبکه توزیع DC فراهم می‌شود. مبدل مازولار با استفاده از کنترل شیفت فاز بین $\pi/2$ -تا $\pi/2$ توانایی کنترل جهت و مقدار توان را دارد. بلوک کنترل کننده ولتاژ شین DC ریزشبکه در شکل (۹) نشان داده شده است. ولتاژ شین DC ریزشبکه با مقدار ولتاژ مرجع آن، $V_{\text{MG}}^{\text{ref}}$ ، مقایسه می‌شود و شیفت فاز لازم برای تعیین جهت و اندازه توان انتقالی مبدل DC-DC مازولار جهت ثبیت ولتاژ ریزشبکه در مقدار نامی تعیین می‌شود. مطابق شکل (۱۰) یک حلقه خارجی کنترل

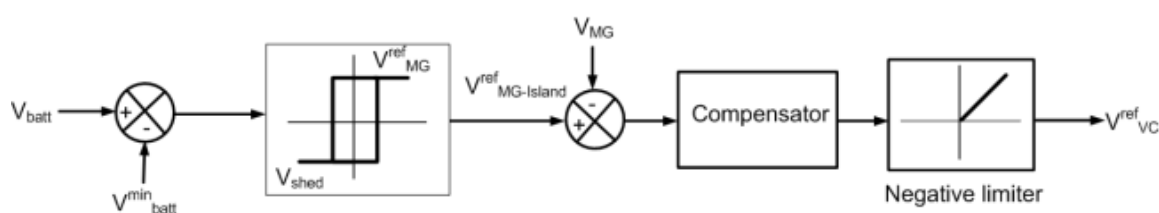
توان از ریزشبکه به شبکه توزیع DC میسر می شود. حالت سوم زمانی رخ می دهد که هم ولتاژ شبکه توزیع DC از مقدار مرجع حالت جزیره ایش کوچکتر باشد و هم ولتاژ ریزشبکه از مقدار مرجع حالت جزیره ایش کوچکتر باشد که در این صورت آشکارساز محدود کننده توان مبادله توان در هر دو مسیر را بلوکه می کند و زاویه شیفت فاز ورودی مبدل مازولار برابر صفر می شود.



شکل ۹. (الف) بلوک دیاگرام کنترل ولتاژ ریزشبکه، (ب) بلوک دیاگرام آشکارساز محدود کننده زاویه شیفت فاز مبدل مازولار

گردند. زمانی که توان تولیدی PV و ذخیره ساز انرژی بیش از توان مورد نیاز بار باشد $V_{MG}^{ref} < V_{MG}$ خواهد بود و سیگنال تولید شده توسط کنترل کننده ولتاژ ریزشبکه توسط بلوک $V_{batt}^{ref} = V_{batt}^R$ محدود کننده منفی صفر می شود. در این حالت است و حلقه کنترل ولتاژ باتری با توجه به وضعیت ولتاژ شبکه توزیع DC فرآیند شارژ یا دشارژ را دنبال می کند. در حالت جزیره ای ریزشبکه که توان تولیدی PV و باتری کافی نیست، حلقه کنترل ولتاژ شبکه مثبت می شود و با تنظیم V_{VC}^{ref} را کنترل می کند و با کنترل دشارژ باتری کمود توان ریزشبکه جبران می شود. ترکیب این دو حلقه کنترلی امکان برقراری تعادل توان و تنظیم ولتاژ شبکه را در حالت های مختلف بهره برداری فراهم می آورد.

قبل از اعمال زاویه شیفت فاز تعیین شده به کلیدهای مبدل، زاویه شیفت فاز مورد نظر وارد آشکارساز محدود کننده می شود. آشکارساز محدود کننده زاویه شیفت فاز بر حسب ولتاژ شین DC شبکه توزیع، V_{Grid} ، و اندازه ولتاژ مرجع کنترل ولتاژ ریزشبکه جهت های ممکن برای انتقال توان را تعیین می کند. شکل ۹-ب) ارتباط بین خروجی کنترل کننده، آشکارساز محدود کننده^۱ زاویه شیفت فاز و زاویه شیفت فاز ورودی به مبدل را نشان می دهد. زمانی که ولتاژ شین DC شبکه توزیع بزرگ تر از مقدار مرجع ولتاژ جزیره ای آن، باشد رله آشکارساز محدود کننده شماره ۱ را فعال می کند که در این صورت مبادله دو طرفه توان از ریزشبکه به شبکه توزیع DC و بالعکس در محدوده تعیین شده شیفت فاز میسر می شود. اگر ولتاژ شین DC شبکه توزیع کوچک تر از ولتاژ مرجع جزیره ای آن باشد ولی ولتاژ ریزشبکه بزرگ تر از ولتاژ مرجع جزیره ای باشد، رله آشکارساز محدود کننده شماره ۲ را فعال می کند که در این صورت زاویه شیفت فاز فقط می تواند منفی باشد به عبارت دیگر فقط امکان انتقال یک طرفه



شکل ۱۰. بلوک دیاگرام کنترل کننده داخلی ولتاژ ریزشبکه

¹Limiter Detector

ریزشبکه به شبکه توزیع DC منتقل می‌شود. این حالت نشان‌دهنده مد اول عملکردی تعریف شده در قسمت قبل برای ریزشبکه است. در ثانیه ۳ شبیه‌سازی بار ریزشبکه از ۱۲۵۰ وات به ۱۶۵۰ وات افزایش می‌یابد در حالی که توان تولیدی منابع PV و FC همچنان در مقدار قبلی خود ثابت هستند. بنابراین برای حفظ ولتاژ ریزشبکه در مقدار نامی، توان انتقالی از ریزشبکه به شبکه توزیع DC به مقدار صفر کاهش می‌یابد. با توجه به نیاز باتری به شارژ بیشتر، در این مد ریزشبکه همچنان به شارژ باتری ادامه می‌دهد. عملکرد ریزشبکه در بازه زمانی دوم، $3 < t < 5\text{ sec}$ نشان‌دهنده مد دوم بهره‌برداری آن است به طوری که توان تولیدی منبع PV فقط صرف توان مصرفی بار و شارژ باتری می‌شود.

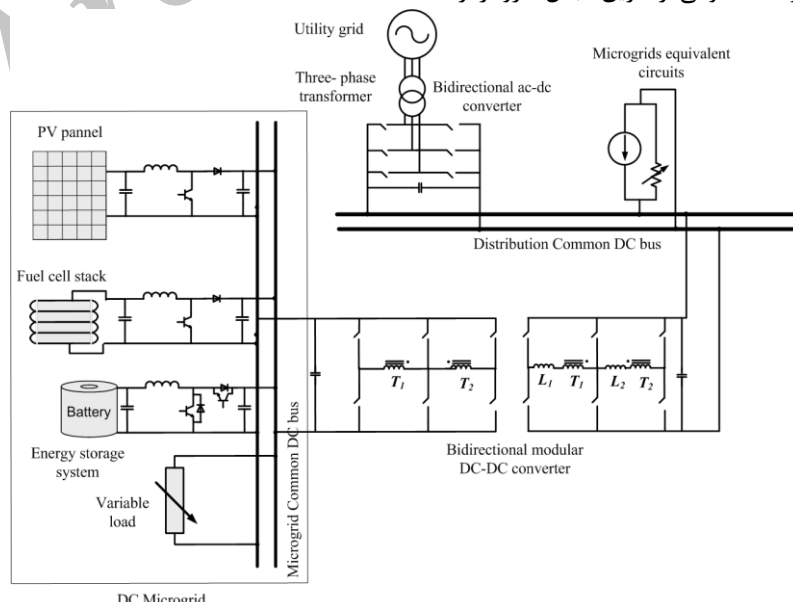
در ثانیه ۵ شبیه‌سازی کاهش در میزان شدت تابش نور خورشید باعث کاهش ۴۰۰ واتی در مقدار حداکثر توان تولیدی منبع توان PV می‌شود. در این لحظه منبع توان به حداکثر ظرفیت ممکن خود یعنی ۷۵۰ وات افزایش داده می‌شود. با این حال ریزشبکه برای تأمین کمبود توان مورد نیاز بار و شارژ باتری نیاز به دریافت توان ۲۵۰ واتی از شبکه توزیع DC دارد. در این مد مبدل DC-DC مازولار ۲۵۰ وات توان از شبکه توزیع DC جذب و آن را به ریزشبکه DC انتقال می‌دهد تا توان مورد نیاز ریزشبکه تأمین شود. در بازه زمانی $5 < t < 10\text{ sec}$ ، ریزشبکه در مدد سوم مورد بهره‌برداری قرار دارد. مطابق شکل (۱۲) در طول تغییرات توان مبدل‌لاتی بین شبکه توزیع DC و ریزشبکه، ولتاژ شبکه DC ریزشبکه در مقدار نامی ۱۰۰ ولت ثبت شده است که نشان از عملکرد مناسب کنترل‌کننده برای مبدل DC-DC مازولار دارد.

۳. نتایج و بحث

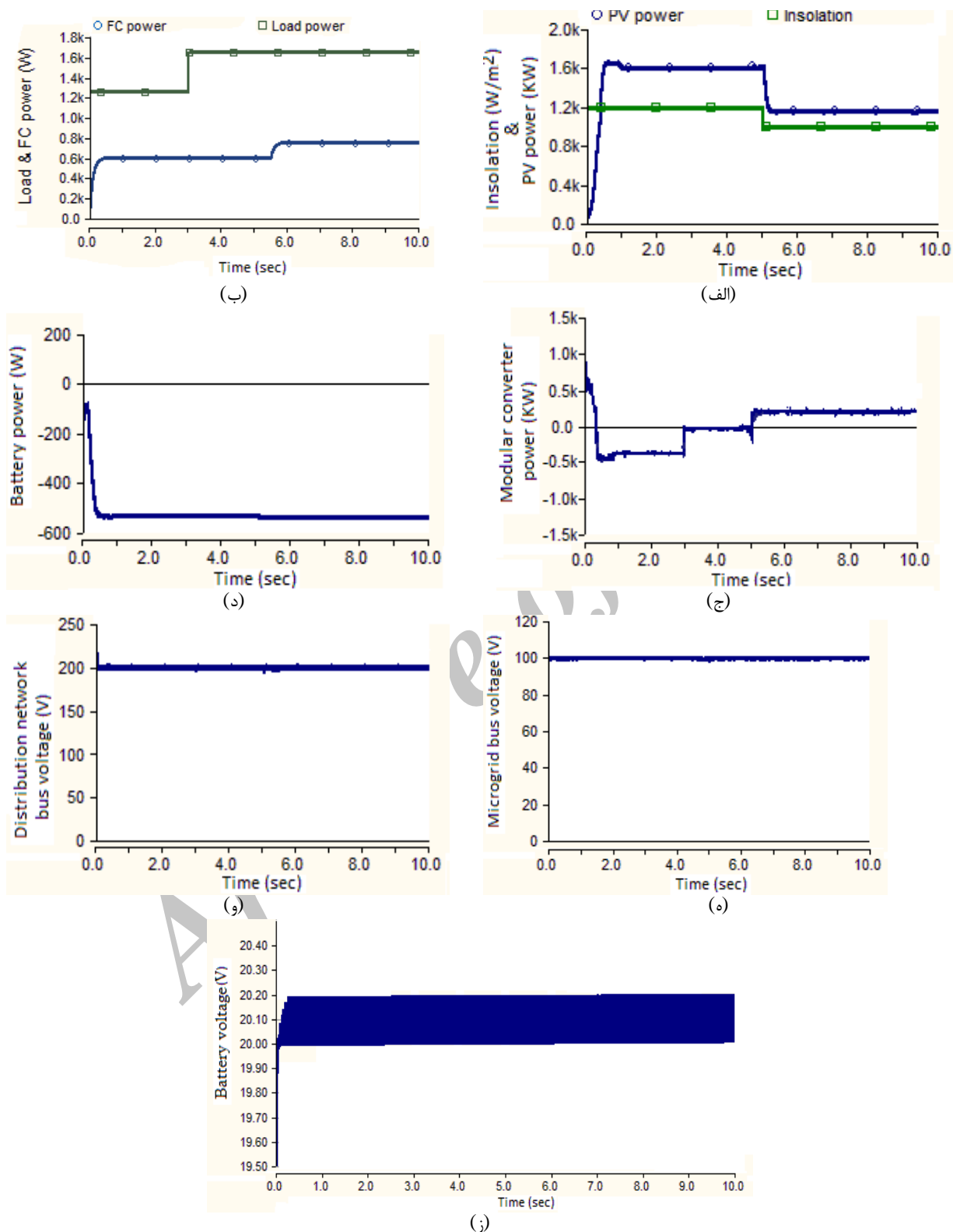
۳.۱. شبیه‌سازی رایانه

در این قسمت با استفاده از نرم‌افزار PSCAD/EMTDC به شبیه‌سازی عملکرد ریزشبکه DC در اتصال با شبکه توزیع DC در شرایط نرم‌مال و در حالت بحرانی که شبکه توزیع DC از شبکه سراسری ایزوله شده باشد پرداخته می‌شود. ساختار شبکه شبیه‌سازی شده مطابق شکل (۱۱) است. تولید توان در ریزشبکه DC از طریق منابع PV و FC در نظر گرفته شده و از یک باتری DC متعلق می‌شود به عنوان ذخیره ساز انرژی استفاده شده است. تغییرات بار نیز به صورت پله‌ای در توان مصرفی لحاظ شده است. شبیه‌سازی بر اساس استراتژی مدیریت توان ذکر شده و نحوه عملکرد مبدل DC-DC به عنوان واسط انتقال توان بین ریزشبکه DC و شبکه توزیع DC انجام می‌شود. ولتاژ نامی شبکه DC شبکه توزیع ۲۰۰ ولت و ولتاژ نامی شبکه ریزشبکه ۱۰۰ ولت در نظر گرفته شده است.

شکل (۱۲) نتایج شبیه‌سازی ریزشبکه DC را در سه بازه زمانی مختلف که هر یک نشان‌دهنده یکی از مدهای بهره‌برداری ریزشبکه است نشان می‌دهد. در بازه زمانی اول، $0 < t < 3\text{ sec}$ ، توان تولیدی منبع PV و FC بیشتر از توان مورد نیاز تغذیه بارهای شبکه و شارژ باتری است بنابراین چون یکی از مبانی عملکردی ریزشبکه استحصال حداکثر توان ممکن بر حسب شدت تابش نور خورشید و دمای محیط است مازاد توان تولیدی در ریزشبکه از طریق مبدل DC-DC مازولار به شبکه توزیع DC منتقل می‌شود. توان تولیدی منبع ۱۶۰۰ PV وات، توان تولیدی منبع ۶۰۰ FC وات، توان مصرفی برای دشارژ باتری ۵۵۰ وات و توان مصرفی بار ۱۲۵۰ وات است و توان مازاد ۴۰۰ واتی از طریق مبدل مازولار از

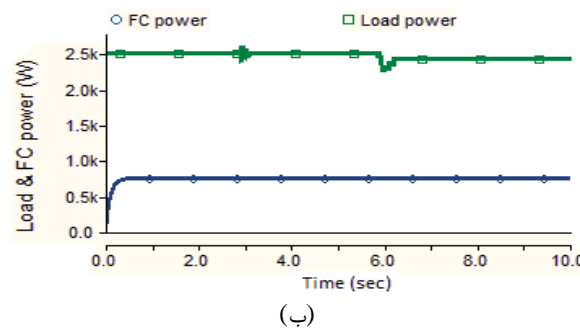


شکل ۱۱. ساختار شبیه‌سازی شده شبکه توزیع DC متصل از اتصال ریزشبکه‌های به هم پیوسته



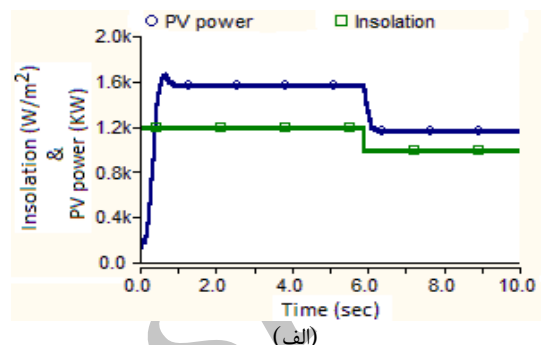
شکل ۱۲. شبیه سازی مدهای اول، دوم و سوم عملکردی ریز شبکه DC، (الف) توان تولیدی منبع PV و شدت تابش نور خورشید، (ب) توان تولیدی منبع توان FC و تغییرات توان مصرفی بار ریز شبکه، (ج) تغییرات توان انتقالی توسط مبدل DC-DC مازولار، (د) تغییرات توان ذخیره ساز انرژی، (ه) ولتاژ شین DC ریز شبکه، (و) ولتاژ شین DC شبکه توزیع DC و (ز) تغییرات ولتاژ باتری

و تغییرات ولتاژ ترمینال باتری را در طول عملکرد مبدل در سه مد و لحظات گذار آن ها نشان می دهد. در بازه زمانی اول، $0 < t < 3\text{ sec}$ ، توان 1600 وات تولیدی منبع PV و توان 750 واتی منبع FC برای تأمین توان بار 2500 واتی کافی نیست بنابراین مبدل مازولار توان 150 وات را از شبکه توزیع DC به ریزشبکه منتقل می کند.

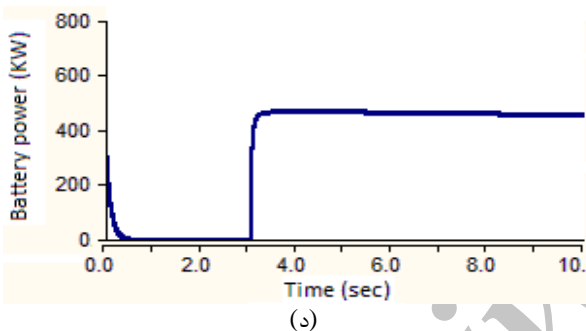


(ب)

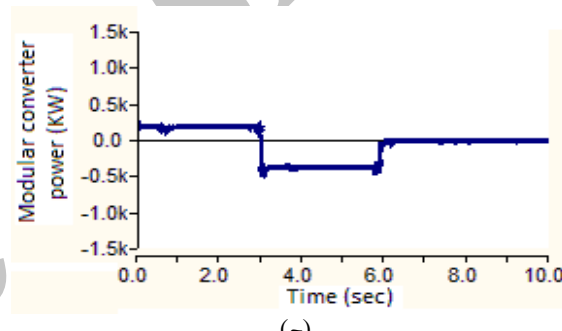
در قسمت دوم این بخش مطابق شکل (۱۳) به بررسی نتایج شبیه سازی عملکرد ریزشبکه در طول مدهای بهره برداری چهارم، پنجم و ششم ریزشبکه پرداخته می شود. در این شکل تغییرات توان تولیدی منابع PV و FC، تغییرات توان مصرفی بار، تغییرات توان شارژ ذخیره ساز انرژی، تغییرات توان انتقالی توسط مبدل مازولار، تغییرات ولتاژ شین های DC ریزشبکه و شبکه توزیع DC



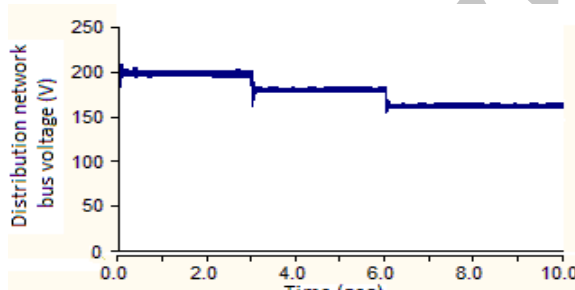
(الف)



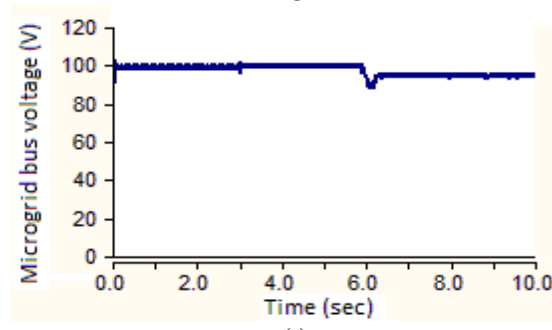
(د)



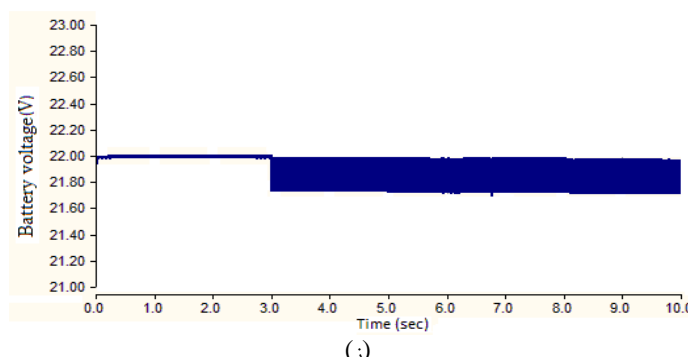
(ج)



(و)



(ه)



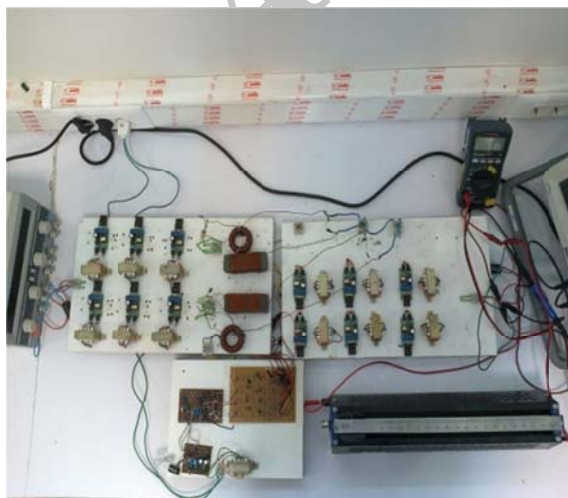
(ز)

شکل ۱۳. شبیه سازی مدهای چهارم، پنجم و ششم عملکردی ریزشبکه DC. (الف) توان تولیدی منبع PV و شدت تابش نور خورشید، (ب) توان تولیدی منبع توان FC و تغییرات توان مصرفی بار ریزشبکه، (ج) تغییرات توان انتقالی توسط مبدل DC-DC، (د) تغییرات توان ذخیره ساز انرژی، (ه) ولتاژ شین DC ریزشبکه، (و) ولتاژ شین DC شبکه توزیع DC و (ز) تغییرات ولتاژ باتری

پیشنهادی در شکل (۱۴) و پارامترهای آن در جدول (۲) آمده است.

مبدل DC-DC دو طرفه مازولار پیشنهادی با دو مازول برای توان ۱۰۰ وات پیاده‌سازی شده است و به این منظور زاویه شیفت فاز ۳۵ درجه بین دو پل مازولار مبدل اعمال می‌شود. شکل (۱۵-الف) ولتاژهای موج مربعی اولیه و ثانویه یکی از ترانسفورماتورها را نشان می‌دهد. همان طور که در شکل نشان داده شده است، ولتاژ اولیه نسبت به ولتاژ ثانویه پیش‌فاز است و در این حالت توان از سمت اولیه مبدل به سمت ثانویه آن منتقل می‌شود. شکل (۱۵-ب) ولتاژ روی اندوکتانس کمکی خارجی مبدل و جریان عبوری از آن را نشان می‌دهد. همان طور که پیش‌تر اشاره شد اندوکتانس کمکی خارجی به همراه اندوکتانس نشتی ترانسفورماتورها به عنوان ذخیره کننده انرژی عمل می‌کنند و در این حالت توان از سمت اولیه مبدل به سمت ثانویه کمکی خارجی و جریان عبوری از آن نیز در شکل (۱۵-د) نشان داده شده است.

نتایج اندازه‌گیری عملی توانایی مبدل DC-DC پیشنهادی را در انتقال دو طرفه توان از طریق تنظیم زاویه شیفت فاز نشان می‌دهد که این ویژگی مبدل، قابلیت آن را برای به کارگیری در نقش واسطه انتقال توان بین ریزشبکه DC و شبکه توزیع DC و تسهیل در پیاده‌سازی راهبرد مدیریت ریزشبکه‌های به هم پیوسته نشان می‌دهد.



شکل ۱۴. نمونه آزمایشگاهی پیاده‌سازی شده مبدل مازولار پیشنهادی

در این حالت باتری از قبل کاملاً شارژ شده و در حالت شناور قرار دارد. در ثانیه ۳ شبیه‌سازی در اثر رخ دادن شرایط اضطراری و قطعی بالادست، شبکه توزیع DC در حالت جزیره‌ای قرار می‌گیرد و ولتاژ شین DC آن با توجه به تزریق و جذب توان توسط ریزشبکه‌ها به کمتر از مقدار ولتاژ ریزشبکه کمتر از جزیره‌ای کاهش می‌یابد. در حال حاضر توان تولیدی ریزشبکه کمتر از توان مورد نیاز بار است چون شبکه توزیع در حالت ایزوله از شبکه سراسری قرار دارد و ولتاژ آن کمتر از مقدار مرجع حالت جزیره‌ای است، طبق راهبرد مدیریت توان ذکرشده، کمبود توان مورد نیاز بار از طریق دشارژ باتری تأمین می‌شود. در این حالت مازاد توان تولیدی منابع PV و باتری در ریزشبکه از طریق مبدل مازولار به شبکه توزیع منتقل می‌شود تا از ذخیره توان ریزشبکه مورد مطالعه برای مصرف در ریزشبکه‌های متصل به شبکه توزیع DC استفاده شود و مانع از خاموشی بار آن‌ها شود.

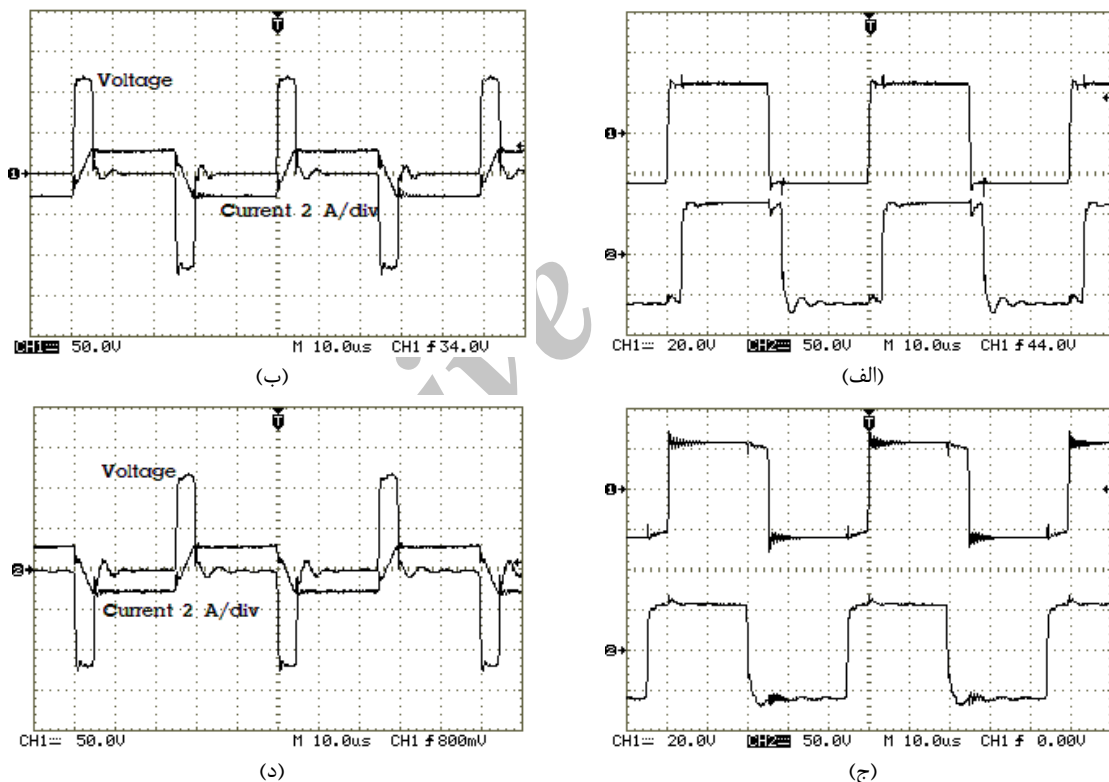
کاهش ناگهانی در شدت تابش نور خورشید در ثانیه ۶ شبیه‌سازی باعث کاهش توان تولیدی منبع PV از ۱۶۰۰ وات به ۱۲۰۰ وات می‌شود. با مجموع توان منبع PV، منبع FC و دشارژ باعث همچنان توان مورد نیاز بار تأمین نمی‌شود و در نتیجه شین DC ریزشبکه با افت ولتاژ روبرو می‌شود. ولتاژ کنترل ولتاژ ریزشبکه، V_{ref}^{VC} ، بزرگ‌تر از صفر است و آشکارساز زاویه شیفت فاز مبدل این زاویه را برابر صفر قرار می‌دهد تا انتقال توانی بین ریزشبکه و شبکه توزیع DC صورت نگیرد. با رخ دادن شرایط فوق طبق راهبرد مدیریت توان تعریف‌شده برای ریزشبکه، ریزشبکه شروع به حذف بارهای غیرضروری می‌کند تا زمانی که ولتاژ شین DC ریزشبکه تا حد ممکن به مقدار نامی افزایش یابد. ولتاژ شین DC در هر یک از مدهای شبیه‌سازی ریزشبکه چه در حالت متصل به شبکه توزیع DC و چه در حالت جزیره‌ای در مقدار مطلوب تنظیم شده است که این موضوع عملکرد مناسب سیستم کنترلی و راهبرد مدیریت توان را تأیید می‌کند. نتایج شبیه‌سازی عملکرد مناسب مبدل پیشنهادی را به عنوان واسطه مبالغه توان بین ریزشبکه DC و شبکه توزیع DC نشان می‌دهد. مبدل مورد نظر با توجه به قابلیت انتقال دو طرفه توان فقط با پس‌فاز یا پیش‌فاز زاویه شیفت فاز راهبرد مدیریت توان در ریزشبکه DC را تسهیل می‌کند و باعث می‌شود ریزشبکه همیشه از منبع تولید توان PV و بدون توجه به ولتاژ شین DC ریزشبکه حداکثر توان ممکن را جذب نماید.

۲-۳. نتایج اندازه‌گیری عملی مبدل DC-DC پیشنهادی

به منظور بررسی اصول عملکرد مبدل DC-DC دو طرفه مازولار پیشنهادی، یک نمونه آزمایشگاهی توان پاییں مبدل پیاده‌سازی و مشخصات الکتریکی آن اندازه‌گیری می‌شود. پیکربندی مبدل

جدول ۲. مقادیر پارامترهای مبدل پیاده‌سازی شده

۲	تعداد مازولهای مبدل
۱۰۰	توان خروجی
۲۵	ولتاژ ثانویه
۶۰	ولتاژ اولیه
۲۰ کیلوهرتز	فرکانس کلیدزنی
۵۰:۱۲۰	نسبت تبدیل ترانسفورماتورها ($n_1:n_2$)
۳۵۵ میکروهانتری	اندوکتانس نشتی کل
۰/۸۵	مقاومت معادل کل
۲۲۰ میکرو فاراد	خازن فیلتر خروجی
۱۵۰ پیکو فاراد	خازن های استابر
IRFP250	کلیدهای پل های اولیه و ثانویه



شکل ۱۵. نتایج اندازه‌گیری عملی مبدل DC-DC مازولار (محور عمومی ولتاژ بر حسب ولت، محور افقی زمان بر حسب میکروثانیه)، (الف) ولتاژ موج مربعی اولیه و ثانویه مبدل برای انتقال توان از اولیه مبدل، (ب) ولتاژ و جریان اندوکتانس کمکی خارجی برای انتقال توان از اولیه به ثانویه مبدل، (ج) ولتاژ موج مربعی اولیه و ثانویه مبدل برای انتقال توان از ثانویه به اولیه مبدل، (د) ولتاژ و جریان اندوکتانس کمکی خارجی برای انتقال توان از ثانویه به اولیه مبدل

خود بپردازند بلکه در شرایط اضطراری که تأمین توان از شبکه

سراسری میسر نیست از ظرفیت توان دیگر ریزشبکه‌ها برای تأمین توان بارهای خود بهره ببرند. یک مبدل DC-DC دو طرفه ایزوله مازولار به عنوان واسطه مبادله توان بین ریزشبکه DC و شبکه توزیع DC به کار گرفته شده و سپس نحوه مدیریت و کنترل توان ریزشبکه با هدف افزایش تداوم تغذیه بارهای

۴. نتیجه‌گیری

راهکاری که در این مقاله برای کمک به تأمین پدافند غیرعامل شبکه‌های توزیع نسل آینده بر پایه ریزشبکه‌ها ارائه شده است ایجاد یک شبکه توزیع متشکل از اتصال چند ریزشبکه به هم دیگر است تا نه تنها هر یک از ریزشبکه‌ها به تأمین توان بارهای

اندازه ولتاژ DC	سمت ثانویه مبدل	V_2
ولتاژ DC	سمت ثانویه منتقل شده به سمت اولیه	V'_2
ولتاژ بااتری		V_{batt}
ولتاژ مرجع بااتری		$V_{ref,batt}^{ref}$
حداقل ولتاژ قابل قبول بااتری		$V_{min,batt}^{min}$
ولتاژ تنظیم بااتری		V_{batt}^R
ولتاژ شین DC شبکه توزیع		V_{Grid}
مقدار مرجع ولتاژ جزیره‌ای شبکه توزیع DC		V_{Grid}^{ref}
ولتاژ روی اندوکتانس معادل ترانسفورماتور		$Island$
ریزشبکه با مقدار ولتاژ مرجع		v_L
ولتاژ مرجع حالت جزیره‌ای		V_{MG}^{ref}
ولتاژ خازن خروجی		$V_{MG-Island}$
ولتاژ موج مربعی AC تولیدشده در سمت اولیه ترانسفورماتور		v_O
ولتاژ موج مربعی AC تولیدشده در ثانویه ترانسفورماتور		v_p
ولتاژ موج مربعی AC سمت ثانویه انتقال یافته به اولیه ترانسفورماتور		v_S
ولتاژ مرجع کنترل ولتاژ ریزشبکه زاویه شیفت فاز اعمالی بین ولتاژ اولیه و ثانویه مبدل		v'_S
نسبت شیفت فاز برابر با θ/π		V_{VC}^{ref}
تابع کلیدزنی پل مژولار اولیه ثانویه مبدل		θ
تابع کلیدزنی پل مژولار ثانویه مبدل		δ
		$\eta_1(t)$
		$\eta_2(t)$

۵. مراجع

- [1] Ranjbar, M. H.; Pirayesh, A. "A New Vulnerability Index of Power System due to Terrorist Threats"; Advanced Defence Sci. & Tech. 2016, 6, 289-297.
- [2] Tummuru, N. R.; Mishra, M. K.; Srinivas, S. "Multifunctional VSC Controlled Microgrid Using Instantaneous Symmetrical Components Theory"; IEEE Trans. Sustain. Energy 2014, 5, 313-322.
- [3] Abdelaziz, M. A.; Farag, H. E.; El-Saadany, E. F. "Optimum Droop Parameter Settings of Islanded Microgrids with Renewable Energy Resources"; IEEE Trans. Sustain. Energy 2014, 5, 434-445.
- [4] Wang, Z.; Chen, B.; Wang, J.; "Networked Microgrids for Self-Healing Power Systems"; IEEE Trans. Smart Grid 2015, 7, 310-319.
- [5] Zhang, F.; Zhao, H.; Hong, M. "Operation of Networked Microgrids in a Distribution System"; CSEE Journal of Power and Energy Systems 2015, 1, 12-21.
- [6] Sadeghi, H.; Abodollahi, A.; Mohammadian, M.; Rashidinejad, M. "Evaluating The Effects of Renewable Energy Resources from Passive Defense and Social Welfare Perspectives in the Context of Expansion Planning"; Advanced Defence Sci. & Tech. 2015, 6, 71-86.
- [7] Khanzadeh, M. "Decentralized Control of Electrical Energy for Sensitive Areas as Inverter-Based Islanded Microgrid without Frequency Change"; Advanced Defence Sci. & Tech. 2015, 6, 105-117.

ریزشبکه‌ها مطالعه شده است. (۱-۴) هر چند باید اذعان داشت که بروز مشکل در ایشورتر مرکزی باعث کاهش قابلیت اطمینان سیستم می‌شود ولی در صورت مجزا عمل کردن ریزشبکه‌ها اگر تغذیه چند ریزشبکه مجاور هم که از یک فیدر یا خط تغذیه استفاده می‌کنند قطع شود تمامی ریزشبکه‌ها در حالت جزیره‌ای قرار می‌گیرند. پیشنهاد این مقاله اتصال ریزشبکه‌ها به هم دیگر است تا در چنین شرایطی از ظرفیت مازاد یکدیگر بهره ببرند. عملکرد یک ریزشبکه DC بر پایه منبع تولید توان PV و FC در اتصال با شبکه توزیع DC شبیه‌سازی شده است. نتایج شبیه‌سازی نشان می‌دهد که می‌توان با استفاده از ریزشبکه‌ها به هم پیوسته و با بهره‌گیری از یک راهبرد مناسب مدیریت توان تحت شرایط اضطراری کمک کرد. در پایان به منظور بررسی اصول عملکرد مبدل DC-DC یک نمونه آزمایشگاهی از آن پیاده‌سازی شده است که نتایج به دست آمده از اندازه‌گیری عملی مباحث نظریه مطرح شده برای مبدل را تأیید و قابلیت آن را برای به کارگیری به عنوان واسطه انتقال توان بین یک ریزشبکه و شبکه توزیع DC نشان می‌دهد.

علائم و اختصارها

پیل سوختی	FC
جريان عبوری از ترانسفورماتور و اندوکتانس معادل از سمت اولیه به سمت ثانویه	i_{12}
جريان عبوری از ترانسفورماتور و اندوکتانس معادل از سمت ثانویه به سمت اولیه	i_{21}
جريان ترانسفورماتور	i_L
ضریب تناسبی جبران ساز PI	K_p
اندوکتانس معادل ترانسفورماتور	L
نسبت تعداد دور سیم پیچ اولیه به سیم پیچ ثانویه ترانسفورماتور	n
تعداد مژول	N
توان انتقالی توسط یک مژول	P_{12}
نقطه اتصال مشترک	PCC
کل توان انتقالی مبدل مژولار	P_O
توان ذخیره ساز بااتری	P_{Batt}
توان انتقالی توسط مبدل مژولار	P_{Conv}
توان پیل سوختی	P_{FC}
توان بار ریزشبکه	P_{Load}
توان منبع فتو ولتائیک	P_{PV}
منبع توان فتو ولتائیک	PV
مقاومت معادل مژول	R_t
ضریب مشتقی جبران ساز PI	T_i
اندازه ولتاژ DC سمت اولیه مبدل	V_I

- [14] Xunwei, Y.; Xu, S.; Xijun, N.; Huang, Q. A. "System Integration and Hierarchical Power Management Strategy for a Solid-State Transformer Interfaced Microgrid System"; IEEE Trans. Power Electron. 2014, 29, 4414–4425.
- [15] Ye, Z.; Jain, P.; Sen, P. "Phasor-Domain Modeling of Resonant Inverters for High-Frequency AC Power Distribution Systems"; IEEE Trans. Power Electron. 2009, 24, 911–923.
- [16] Qin, H.; Kimball, J. W. "Generalized Average Modeling of Dual Active Bridge DC–DC Converter"; IEEE Trans. Power Electron. 2012, 27, 2078–2084.
- [17] Qin, H.; Kimball, J. W. "Closed-Loop Control of DC–DC Dual-Active-Bridge Converters Driving Single-Phase Inverters"; IEEE Trans. Power Electron. 2014, 29, 1006–1017.
- [18] Eghtedarpour, N.; Farjah, E. "Distributed Charge/Discharge Control of Energy Storages in a Renewable-Energy-Based DC Micro-Grid"; IET Renew. Power Gener. 2014, 8, 45–57.
- [8] Shahnia, F.; Chandrasena, R. P.; Rajakaruna, S.; Ghosh, A. "Autonomous operation of multiple interconnected microgrids with self-healing capability"; IEEE Power & Energy Society General Meeting 2013, 1–5.
- [9] Teixeira, A.; Paridari, K.; Sandberg, H.; Johansson, K. H. "Voltage Control for Interconnected Microgrids under Adversarial Actions"; IEEE 20th Conference on Emerging Technologies & Factory Automation (ETFA) 2015, 1–8.
- [10] Wang, Z.; Chen, B.; Wang, J.; Begovic, M. M. "Coordinated Energy Management of Networked Microgrids in Distribution Systems"; IEEE Trans. Smart Grid 2014, 6, 45–53.
- [11] Chen, Ch.; Duan, Sh. "Optimal Allocation of Distributed Generation and Energy Storage System in Microgrids"; IET Renew. Power Gener. 2014, 8, 581–589.
- [12] Bae, S.; Kwasinski, A. "Dynamic Modeling and Operation Strategy for a Microgrid with Wind and Photovoltaic Resources"; IEEE Trans. Smart Grid 2012, 3, 1867–1876.
- [13] Xu, S.; Huang, A. Q.; Lukic, S.; Baran, M. "On Integration of Solid-State Transformer with Zonal DC Microgrid"; IEEE Trans. Smart Grid 2012, 3, 975–985.